

**ИССЛЕДОВАНИЕ СПЕКТРА ЛОКАЛЬНЫХ СОСТОЯНИЙ  
 $a\text{-Si : H}$  МЕТОДОМ ФОТОЭЛЕКТРИЧЕСКОЙ  
 РЕЛАКСАЦИОННОЙ СПЕКТРОСКОПИИ**

Балагуров Л. А., Омельяновский Э. М., Пинскер Т. Н.,  
 Примбетов К. К., Уткин-Эдин Д. П.

Как известно, метод DLTS дает уникальную возможность получать обширную информацию об основных параметрах локальных центров практически во всей запрещенной зоне полупроводника [1]. Именно поэтому данный метод был использован в [2] для изучения квазинепрерывного спектра плотности состояний  $E$  в аморфном кремнии  $a\text{-Si}$ . Поскольку по известным причинам (см., например, [1]) метод DLTS применим только к низкоомным материалам, в [2] исследовались легированные образцы  $a\text{-Si : H}$ ,  $P$ , хотя, согласно [3], при легировании аморфного кремния энергетический спектр в щели подвижности может кардинально изменяться и тем самым существенно отличаться от ситуации в нелегированном  $a\text{-Si : H}$ . Методом, альтернативным DLTS, является метод фотоэлектрической релаксационной спектроскопии (ФЭРС), развитый в [4, 5] применительно к высокоомным полупроводникам с барьером Шоттки. Идейно и аппаратурно он напоминает токовый вариант DLTS с той лишь разницей, что для инъекции неравновесных носителей здесь используется импульс света и анализируется кривая релаксации фототока через структуру при различных температурах.

В данной работе метод ФЭРС впервые использован для изучения распределения плотности локальных состояний в  $a\text{-Si : H}$  с удельным сопротивлением  $10^9$  Ом·см при 300 К.

Измерения проводились на образцах, имеющих следующую структуру: изолирующая подложка, металлический контакт  $Ni-Cr$  толщиной  $\sim 2000 \text{ \AA}$ ,  $n^+$ -слой  $a\text{-Si : H}$  и полупрозрачный золотой контакт. Слои  $a\text{-Si : H}$  толщиной  $\sim 300 \text{ \AA}$  ( $n^+$ ) и  $\sim 5000 \text{ \AA}$  ( $i$ ) выращивались методом разложения моносилана в тлеющем разряде. В качестве источника возбуждения при измерении спектров ФЭРС использовался Не—Не-лазер с длиной волны 0.63 мкм (коэффициент поглощения  $\alpha = 4 \cdot 10^4 \text{ см}^{-1}$ ) и мощностью 20 мВт. Образец помещался в оптический криостат, позволяющий регулировать температуру в диапазоне 4.2—500 К. Прерывание лазерного луча осуществлялось механическим модулятором, фронт светового импульса был не более 1 мс. На образец подавалось обратное смещение 0.8 В, фототок регистрировался усилителем тока с диапазоном  $10^{-11}$ — $10^{-5}$  А (подробнее методика измерений описана в [6]).

Анализ полученных результатов проводился в рамках модели, модифицированной на квазинепрерывное распределение локальных состояний в щели подвижности  $E_g$ . Как показано в [7], эмиссия носителей, захваченных на уровень с энергией  $E$  при освещении, индуцирует переходный ток:

$$j(t) = q \int_0^w \left[ \alpha_n n_t(x, t) \left( 1 - \frac{x}{w} \right) + \alpha_p p_t(x, t) \frac{x}{w} \right] dx, \quad (1)$$

где  $n_t(x, t)$ ,  $p_t(x, t)$  — концентрации электронов и дырок на уровне,  $\alpha_n$ ,  $\alpha_p$  — коэффициенты эмиссии электронов и дырок соответственно,

$$\alpha_n = v_n \exp\left(-\frac{E_e - E_t}{kT}\right), \quad \alpha_p = v_p \exp\left(-\frac{E_t - E_d}{kT}\right),$$

$w$  — ширина области пространственного заряда.

Для непрерывного распределения ловушек вместо (1) имеем: ток эмиссии электронов

$$j_n(t) = q \int_0^w dx \int_{E_i}^{E_e} \alpha_n(E) g(E) f(E, x, t) \left( 1 - \frac{x}{w} \right) dE,$$

ток эмиссии дырок

$$j_p(t) = q \int_0^w dx \int_{E_i}^{E_c} \alpha_p(E) g(E) [1 - f(E, x, t)] \frac{x}{w} dE,$$

$$j = j_n + j_p,$$

где  $g(E)$  — плотность состояний,  $f(E, x, t)$  — функция заполнения ловушек с энергией  $E$  в момент времени  $t$ ,  $E_i$  — демаркационный уровень, разделяющий пустые и заполненные электронные состояния в области пространственного заряда до освещения. Если высота барьера в диоде Шоттки  $\varphi_b > E_g/2$ , то  $E_c - E_i \approx (E_g/2) + (kT/2) \ln(\nu_n/\nu_p)$ . При оптическом возбуждении вклад в ток дает только область  $0 \leq x \leq 1/\alpha = L$ , где  $\alpha$  — коэффициент поглощения. Если  $\alpha w \gg 1$ , то

$$j_n \approx L \left(1 - \frac{L}{2w}\right), \quad j_p \approx \frac{L^2}{2w}, \quad j_p \ll j_n,$$

поэтому в дальнейшем вклад дырок в эмиссионный ток будем считать пренебрежимо малым.

Функция заполнения ловушек  $f(E, x, t) = f_0(x) e^{-\alpha_n(E)t}$ , где  $f_0(x)$  описывает заполнение в момент окончания импульса света.

В предположении полной перезарядки ловушек  $f_0(x) = 1$  получаем

$$j(t) \approx j_n(t) = \frac{q}{\alpha} \int_{E_i}^{E_c} \alpha_n(E) g(E) e^{-\alpha_n(E)t} dE.$$

Согласно концепции «окна скоростей», сигнал ФЭРС есть разность значений токов в фиксированные моменты времени  $t_1$  и  $t_2$ :

$$I(T) = j(t_1) - j(t_2) = \frac{q}{\alpha} \int_{E_i}^{E_c} \alpha_n(E) (e^{-\alpha_n t_1} - e^{-\alpha_n t_2}) g(E) dE.$$

Функция  $\Theta(E) = \alpha_n(E) (e^{-\alpha_n t_1} - e^{-\alpha_n t_2})$  имеет максимум при  $\alpha_n$ , определяемом как решение уравнения

$$e^{-\alpha_n(t_2-t_1)} = \frac{1 - \alpha_n t_1}{1 - \alpha_n t_2}.$$

Если  $\alpha_n t_2 \gg 1$ , максимум  $\Theta(E)$  достигается при  $\alpha_n = 1/t_1$ , т. е. при

$$E_c - E_0 = kT \ln(\nu_n t_1). \quad (2)$$

Если плотность состояний медленно меняется с  $kT$ , то можно приближенно положить

$$I(T) = \frac{q}{\alpha} g(E_0) \int_{E_i}^{E_c} \Theta(E) dE = \frac{q}{\alpha} g(E_0) kT \frac{t_2 - t_1}{t_2 t_1}. \quad (3)$$

Таким образом, сигнал ФЭРС пропорционален произведению плотности локальных состояний  $g(E)$  на температуру.

На рис. 1 представлена зависимость  $I(T)$  для значений  $t_1 = 20$ ,  $t_2 = 200$  мс. Распределение плотности состояний в щели подвижности  $a\text{-Si : H}$ , рассчитанное по формуле (3), показано на рис. 2. Переход к энергетической шкале осуществлялся с помощью соотношения (2), причем, согласно [2],  $\nu_n = 2 \cdot 10^8$  с<sup>-1</sup>. Как видно из рис. 2,  $g(E)$  имеет три максимума с энергиями  $E_1 = 0.1$ ,  $E_2 = 0.35$  и  $E_3 = 0.8$  эВ, причем форма пиков с энергиями 0.1 и 0.8 эВ хорошо описывается гауссианом с шириной 0.03 и 0.2 эВ. Низкотемпературный пик плотности состояний играет важную роль в процессах рекомбинации [8], однако происхождение его до конца не ясно. Можно только констатировать, что этот пик нельзя связывать с донорными состояниями, ибо высокая плотность этих состояний неизбежно должна была бы привести к фиксации уровня Ферми вблизи  $E_c$ .

В [9] нами для объяснения спектра локальных состояний была использована модель  $D$ -центров, образованных оборванными связями кремния, предлагающая значительную величину полярного сдвига. Приведенные там значения термической энергии активации  $D$ -центров 0.4 и 0.8 эВ хорошо коррелируют с данными для  $E_2$  и  $E_3$ , полученными из ФЭРС. Это дает основание сделать вывод, что плотность состояний, образованная оборванными связями кремния ( $D$ -центры) в щели подвижности в исследованных нами образцах, составляет  $(1-10) \cdot 10^{17}$  эВ $^{-1} \cdot \text{см}^{-3}$ , что хорошо коррелирует с типичными результатами измерений  $g(E)$  в  $a\text{-Si : H}$  другими методами [2].

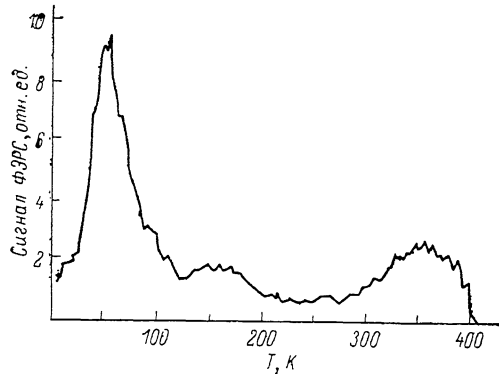


Рис. 1. Зависимость сигнала ФЭРС от температуры при  $t_1=20$  и  $t_2=200$  мс.

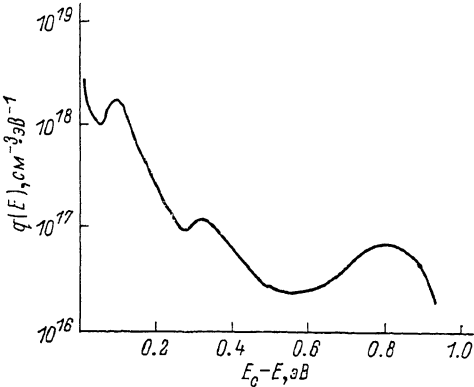


Рис. 2. Расчетная зависимость плотности локальных состояний от энергии  $a\text{-Si : H}$ .

Пик с энергией 0.8 эВ регистрировался также методом DLTS, но приписывался  $D$ -центраторам в зарядовом состоянии  $D^-$ , а в области 0.4 эВ наблюдался глубокий минимум в  $g(E)$ . По-видимому, столь сильное различие вида функции  $g(E)$  в нелегированном  $a\text{-Si : H}$  и легированных образцах, используемых для измерений DLTS, связано с тем, что введение легирующих примесей не только приводит к появлению мелких уровней вблизи  $E_c$ , но и влияет на распределение глубоких локальных состояний.

Таким образом, приходим к заключению, что метод фотоэлектрической релаксационной спектроскопии можно успешно использовать для изучения квазинепрерывного спектра состояний в весьма широком энергетическом интервале щели подвижности  $a\text{-Si : H}$ .

Авторы выражают глубокую благодарность А. Я. Полякову за помощь в проведении измерений.

#### Л и т е р а т у р а

- [1] Lang D. V. — Top. Appl. Phys., 1979, v. 37, p. 93—133.
- [2] Lang D. V., Cohen J. D., Harbison J. P. — Phys. Rev. B, 1982, v. 25, p. 5285—5330.
- [3] Wronski C. R., Abeles B., Tiedje T., Cody G. D. — Sol. St. Commun., 1982, v. 44, p. 1423—1426.
- [4] Hurtes Ch., Boulon M., Mittonean A., Bois D. — Appl. Phys. Lett., 1978, v. 32, N 12, p. 821—823.
- [5] Martin C. M., Bois D. — Top. Conf. Charact. Techn. Seafle, Electrochem. Soc., 1978, v. 78, p. 32—42.
- [6] Омельяновский Э. М., Поляков А. Я., Рытова Н. С., Райхштейн В. И. Об определении параметров глубоких центров в высокоомных полупроводниках методом фотоэлектрической релаксационной спектроскопии глубоких уровней (ФЭРСГУ). — ФТП, 1986, т. 20, в. 8, с. 1428—1432.
- [7] Sah C. T., Forbes L., Rosier L. L., Tash A. F. — Sol. St. Electron., 1970, v. 13, p. 759—788.
- [8] Балагуров Л. А., Кютте Я. Я., Омельяновский Э. М., Осташко С. А., Стыс Л. Е., Фойгель М. Г. Особенности рекомбинации в аморфном гидрогенизированном кремни. — ФТП, 1985, т. 19, в. 6, с. 1046—1051.
- [9] Балагуров Л. А., Карпова Н. Ю., Омельяновский Э. М., Пинскер Т. Н., Стариков М. Н. Энергетический спектр глубоких состояний в щели подвижности  $a\text{-Si : H}$ . — ФТП, 1986, т. 20, в. 4, с. 720—723.